

京都大学 学生員 小林 修二  
 京都大学 正員 白石 成人  
 京都大学 学生員 関角 博夫

## 1. 概 説

長大吊構造物の空力不安定振動について、従来より多くの貴重な研究報告がなされてきた。しかしながら、流れの遷移が主要因であると考えられる剥離流フラッターに関しては、この現象が生じればただちに構造物の破壊につながる。しかし流れの遷移の定量的把握が困難なこと、準定常理論が剥離流フラッターには十分には適用できないこと等により未だに不明な点が多く残されている。本研究では、フラッター限界風速が著しく低下すると云われている10H-断面およびPlateを用いた風洞実験を行い、中央分離帶の高さがフラッター限界風速、応答振幅特性に及ぼす影響について基礎的な考察を加えようとするものである。

## 2. 風 洞 実 験

実験に使用したモデルは10H-断面及びPlateであり、断面の諸量はA-V曲線図中に記した通りである。各減衰定数は倍振幅 $0.02 \sim 0.04$  radianにおける平均値である。これは初期減衰定数が振幅に関して非線形であるために、この値を参考に示したものである。図1には静的空気力試験(10H-断面)の結果を示し、図2には同断面を用いた応答振幅実験の結果を示してある。図1中、10H-断面は対称断面であるため、本来、静的空気力係数曲線は原点対称の曲線となるべきであるが、ストラット、模型取り付け位置等の影響により若干非対称の形状を呈している。また、10H-1～3と中央分離帶の高さが増加につれてC<sub>A</sub>曲線の負側へのshiftが見られる。これは中央分離帶の高さが増加につれて、中央分離帶がwake領域に含まされたためには大きな迎え角が必要となるためと思われる。これらの現象は流れのパターンとの関連においてflow visualization等の手法により、今後一層詳細な実験的追求が望まれる。図1によると $\alpha = 4^\circ \sim 8^\circ$ で各断面ともC<sub>A</sub>曲線の勾配は負値を示す。これは準定常空気力学理論に従えばストールフラッター振動の発生の可能性を示唆するものである。また、 $\alpha = 0^\circ$ 附近においては10H-2断面で $dC_A/d\alpha > 0$ は拘めろがストールフラッター振動が発生している。これは注目すべきは10H-3断面では $\alpha < 4^\circ$ で明らかに $dC_A/d\alpha > 0$ は拘めろがストールフラッターと思われる振動現象が発生することである。以上の2点は準定常空気力学理論からは説明しきれない現象と思われる。図2で10H-1～3と中央分離帶の高さが増加につれてフラッター限界風速も高くなる傾向をもつ。初期減衰定数の比較からは逆の傾向を持つと思われるところを考慮すれば、中央分離帶の高さの影響として最も大きなものはストールフラッター発生を抑止する効果を持つことであろう。その原因としてleading edgeでの剥離に伴う渦と中央分離帶での剥離により生じた渦との間に何らかの相互干渉的効果が存在するためであろうと考えられるが、流れのパターンとの関連において、今後、より詳細な実験、研究が必要である。

## 3. 後 記

10H-断面(2自由度)との関連については発表当日報告を行う予定である。最後に本研究を行うに当たり多く御助力をいただいた松本氏、小島氏に深く感謝の意を表すものである。

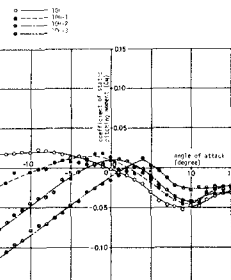


図. 1

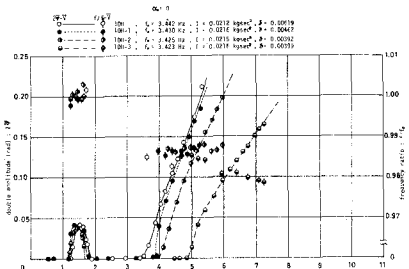


図. 2